

Anwendung: Röntgen- und Rutherford-Formel

$$m_\nu \approx 106 \text{ MeV} \gg m_e \approx 0.511 \text{ MeV}$$

→ betrachte den Grenzwert $m_\nu \rightarrow \infty$

((CNS ≈ Laborsystem; das Proton ruht, Rückstoß vernachlässigbar))

$$p_1 = (E_1, \vec{p}_1), \quad p_2 = (E_2, \vec{p}_2) = m_\nu \left(\sqrt{1 + \frac{\vec{p}_2^2}{m_\nu^2}}, -\frac{\vec{p}_2}{m_\nu} \right) \approx (m_\nu, \vec{0})$$

$$q_1 = (E_1, \vec{q}_1), \quad q_2 = (E_2, \vec{q}_2) = m_\nu \left(\sqrt{1 + \frac{\vec{q}_2^2}{m_\nu^2}}, -\frac{\vec{q}_2}{m_\nu} \right) \approx (m_\nu, \vec{0})$$

$$E\text{-Erhaltung: } E_1 + m_\nu + O\left(\frac{1}{m_\nu}\right) = E_1 + m_\nu + O\left(\frac{1}{m_\nu}\right) \Rightarrow \vec{q}_1^2 = \vec{p}_1^2$$

nach Ausführen der Phasorraumintegrierung erhalten wir (S. 5. 32)

$$\text{erhalten: } \frac{d\sigma}{d\Omega} = \frac{1}{(8\pi)^2} \frac{|\vec{p}_1|}{|\vec{q}_1|} \frac{|M|^2}{(E_A + E_B)^2}$$

$= 1$ vom E-Erhaltung

nutzt das Ergebnis für $\langle |M|^2 \rangle$ von S. 39 ein

hier: $(\vec{q}_1 - \vec{p}_1)^2 = (E_1 - E)^2 - (\vec{q}_1 - \vec{p}_1)^2 = -2\vec{q}_1^2(1 - \cos\theta) = -4\vec{q}_1^2 \sin^2 \frac{\theta}{2}$

$$q_1 \cdot q_2 = \vec{p}_1 \cdot \vec{p}_2 = q_1 \cdot p_2 = q_2 \cdot p_1 = m_\nu E_A$$

$$q_1 \cdot p_1 = E_A E_1 - \vec{q}_1 \cdot \vec{p}_1 = m_e^2 + \vec{q}_1^2 - \vec{q}_1^2 \cos\theta = m_e^2 + 2\vec{q}_1^2 \sin^2 \frac{\theta}{2}$$

$$q_2 \cdot p_2 = m_\nu^2$$

$$E_A + E_B = m_\nu \left(\frac{m_e^2 + \vec{q}_1^2}{m_\nu} + 1 \right) \approx m_\nu + O\left(\frac{1}{m_\nu}\right)$$

$$= \frac{1}{(8\pi)^2} \frac{1}{m_\nu^2} \frac{8e^4}{(-4\vec{q}_1^2 \sin^2 \frac{\theta}{2})^2} (2m_e^2 m_\nu^2 + 2m_\nu^2 \vec{q}_1^2 \cos^2 \frac{\theta}{2})$$

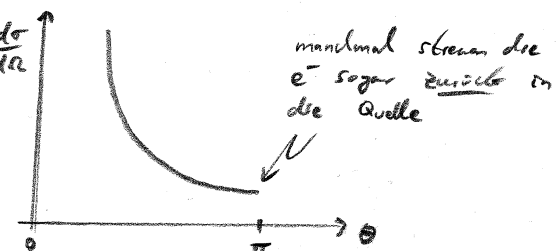
$$= \left(\frac{\alpha_{\text{EM}}}{2\vec{q}_1^2 \sin^2 \frac{\theta}{2}} \right)^2 (m_e^2 + \vec{q}_1^2 \cos^2 \frac{\theta}{2}) \quad \text{"Röntgen-Formel"}$$

Bem: • ist gute Näherung für e-p- Streuung, da $m_p \approx 938 \text{ MeV} \gg m_e$

falls das Elektron nichtrelativistisch ist (also $|\vec{q}_1| = m_e v \ll m_e$),

ergibt sich die "Rutherford-Formel":

$$\frac{d\sigma}{d\Omega} = \left(\frac{\alpha_{\text{EM}}}{2m_e^2 \sin^2 \frac{\theta}{2}} \right)^2$$



5. Starke Wechselwirkungen, Quantchromodynamik (QCD)

Im letzten Kapitel: QED, Theorie der elektromagnetischen W.^ren.
 konzept sehr gut ($\alpha_{\text{em}} \approx \frac{1}{137}$)
 experimentell extrem genau verifiziert (z.B. μ_e)
 → "langweilig"

jetzt: komplizitare W.^ren

viel verschiedene Näherungsmethoden, neue Begriffe
 → "impräsent"

Betrachtung hier jedoch nur qualitativ.

QED ≈ W_W gebundener T.; Vermittlung: Photonen; Stärke: $g_e = \sqrt{4\pi\alpha_{\text{em}}}$

QCD ≈ W_W farbiger T.; Vermittlung: Gluonen; Stärke: $g_s = \sqrt{4\pi\alpha_s}$

Erheitsladung: e (Position)

↓

Farb-Erheitsladung

Quantum-Deil

historisch: 1959-64; Gell-Mann, Ne'eman, Zweig

siehe [D.W. Greenberg, Am. J. Phys. 50 (1982) 1074]

leichte Quarks: u ($m \approx 2 \text{ MeV}$), d ($\approx 5 \text{ MeV}$), s ($\approx 100 \text{ MeV}$)

schwere Quarks: c ($m \approx 1.25 \text{ GeV}$), b ($\approx 4.2 \text{ GeV}$), t ($\approx 174 \text{ GeV}$)

durch Beobachtung der leichten Hadronen (Resonanzen mit S_{pm} $J=0, 1, \dots$

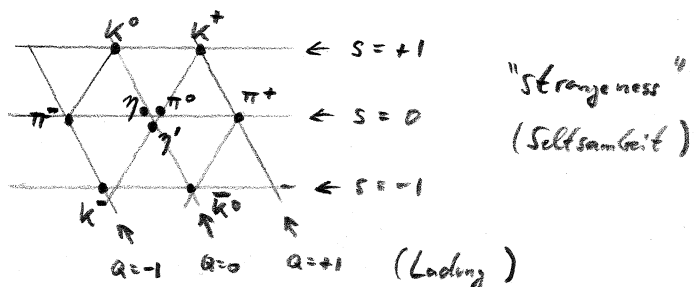
bei Baryonen und S_{pm} $J=\frac{1}{2}, \frac{3}{2}, \dots$) kann man etwas über die leichten Quarks erfahren!

Klassifizierung durch Gell-Mann ("der Mandelbrot der Teilchenphysik")

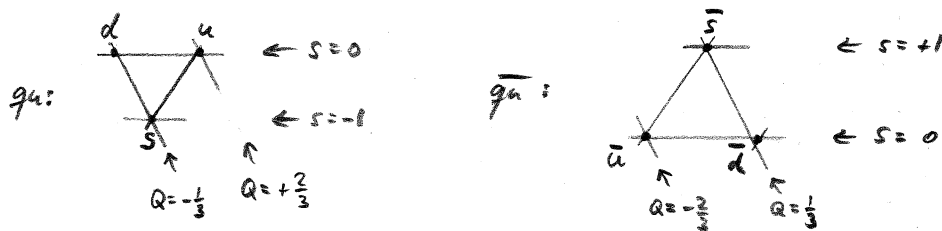
$J=0$ - Resonanzen:

"der achtfache Lenz"

(η' schwerer als andere)



Syntomatik: Reson = Quark + Antiquark



alle Kombinationen $\Rightarrow \sim 3 \cdot 3 = 9$ Resonen !

[Gruppentheorie: $3 \otimes \bar{3} = 8 \oplus 1$, $1 \equiv \gamma'$]

funktional nicht nur für Spin-0 (π^0 , s.o.)

sondern auch für Spin-1 Resonen (η), $Spm-\frac{1}{2}$ Baryonen (Λ^0),
 $Spm-\frac{3}{2}$ Baryonen (Ξ^0)

Bestätigung des Quarkmodells: experimentell!

es "fehlte" eine Elektrone im Baryondecuplett (das Ω^- , sss).

1964 experimentell entdeckt.

((vgl. Mendelejew: es "fehlten" Gallium, Scandium, Germanium im Periodensystem \rightarrow Vorhersage !))

Fragen • warum sieht man keine freien Quarks?

• steht z.B. sss nicht im Widerspruch zum Pauli-Prinzip?

\rightarrow neue Eigenschaft: Farbe.

Quarks haben drei Farben / Antifarben ((nehmen wir r,g,b / \bar{r},\bar{g},\bar{b}))

als freie Teilchen treten nur farblose Kombinationen auf

dies ist Hypothese! Braucht wieder experimentelle Bestätigung.

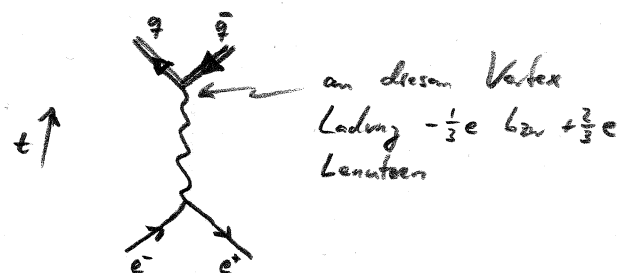
\rightarrow stochere innere Struktur der Hadronen.

Hadronerzeugung in e^+e^- -Kollisionen

Quarks sind (el.) geladen (s.o.)

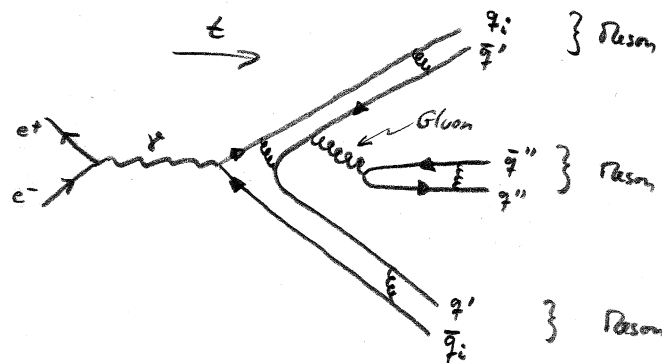
\rightarrow Spuren einer WW, $\approx QED$

Idee: $e^+e^- \rightarrow \gamma \rightarrow q\bar{q}$



gezeigt:

[z.B. SLAC, LEP]



können die erste Stufe dieses Prozesses mit den QED-Regeln aus Kapitel 4 berechnet werden, analog zu " $e^+ + e^- \rightarrow \gamma \rightarrow \mu^+ + \mu^-$ ":
 wobei CNS, $E = \text{Energie des eml. } e^-$

$Q_i \equiv \text{Ladung des } q_i$ (\approx Elektronen $\approx e$), $m_i \equiv \text{Masse des } q_i$

((S.37-39: $t \uparrow$, jetzt: $t \uparrow$, also $p_1 \leftrightarrow -q_8$))

$$\begin{aligned} \Rightarrow \langle M^2 \rangle &= \sum_{\substack{\text{Farben} \\ \text{Flavours}}} \frac{8 Q_i^2 e^4}{(q_1 + q_8)^4} \left\{ q_1 p_1 q_8 p_2 + q_1 p_2 p_1 q_8 + m_i^2 q_1 q_8 + m_e^2 p_1 p_2 + 2 m_e^2 m_i^2 \right\} \\ &\quad \text{CNS: } \vec{q}_8 = -\vec{q}_1, \vec{p}_2 = -\vec{p}_1 \\ &\quad E-\text{Schwifg: } 2E = E_1 + E_2 = 2E, \Rightarrow E_1 = E_8 = E_1 = E_2 = E \\ &\quad \vec{q}_1^2 + m_e^2 = \vec{p}_1^2 + m_i^2 \\ &= \sum \frac{8 Q_i^2 e^4}{(2E)^4} \left\{ (E^2 - \vec{q}_1 \cdot \vec{p}_1)^2 + (E^2 + \vec{q}_1 \cdot \vec{p}_1)^2 + m_i^2 (E^2 + \vec{q}_1^2) \right. \\ &\quad \left. + m_e^2 (E^2 + \vec{p}_1^2) + 2 m_e^2 m_i^2 \right\} \\ &= \sum \frac{Q_i^2 e^4}{E^4} \left\{ E^4 + m_e^2 E^2 + m_i^2 E^2 + (E^2 - m_i^2)(E^2 - m_e^2) \cos^2 \theta \right\} \end{aligned}$$

($\cancel{q_1, p_1}$)

also folgt insgesamt für den totalen Wirkungsquerschnitt

$$\begin{aligned} \sigma_{\text{tot}} &= \int d\Omega \frac{d\sigma}{d\Omega} = \int_0^{2\pi} d\phi \int_0^\pi d\theta \sin \theta \frac{1}{(8\pi)^2} \frac{1}{\sqrt{E^2 - m_i^2}} \frac{\langle M^2 \rangle}{(2E)^2} \Theta(E - m_i) \\ &= \sum_{\substack{\text{Farben} \\ \text{Flavours}}} \frac{\pi}{3} \frac{Q_i^2 e^2}{E^2} \frac{\sqrt{1 - m_i^2/E^2}}{\sqrt{1 - m_e^2/E^2}} \left(1 + \frac{1}{2} \frac{m_e^2}{E^2} \right) \left(1 + \frac{1}{2} \frac{m_i^2}{E^2} \right) \Theta(E - m_i) \\ &\approx N_c \cdot \sum_i Q_i^2 \cdot \frac{\pi}{3} \left(\frac{m_i}{E} \right)^2 \quad \text{für } E \gg m_i \gg m_e \\ &\quad ? N_c = \sum_{\text{Farben}} \end{aligned}$$